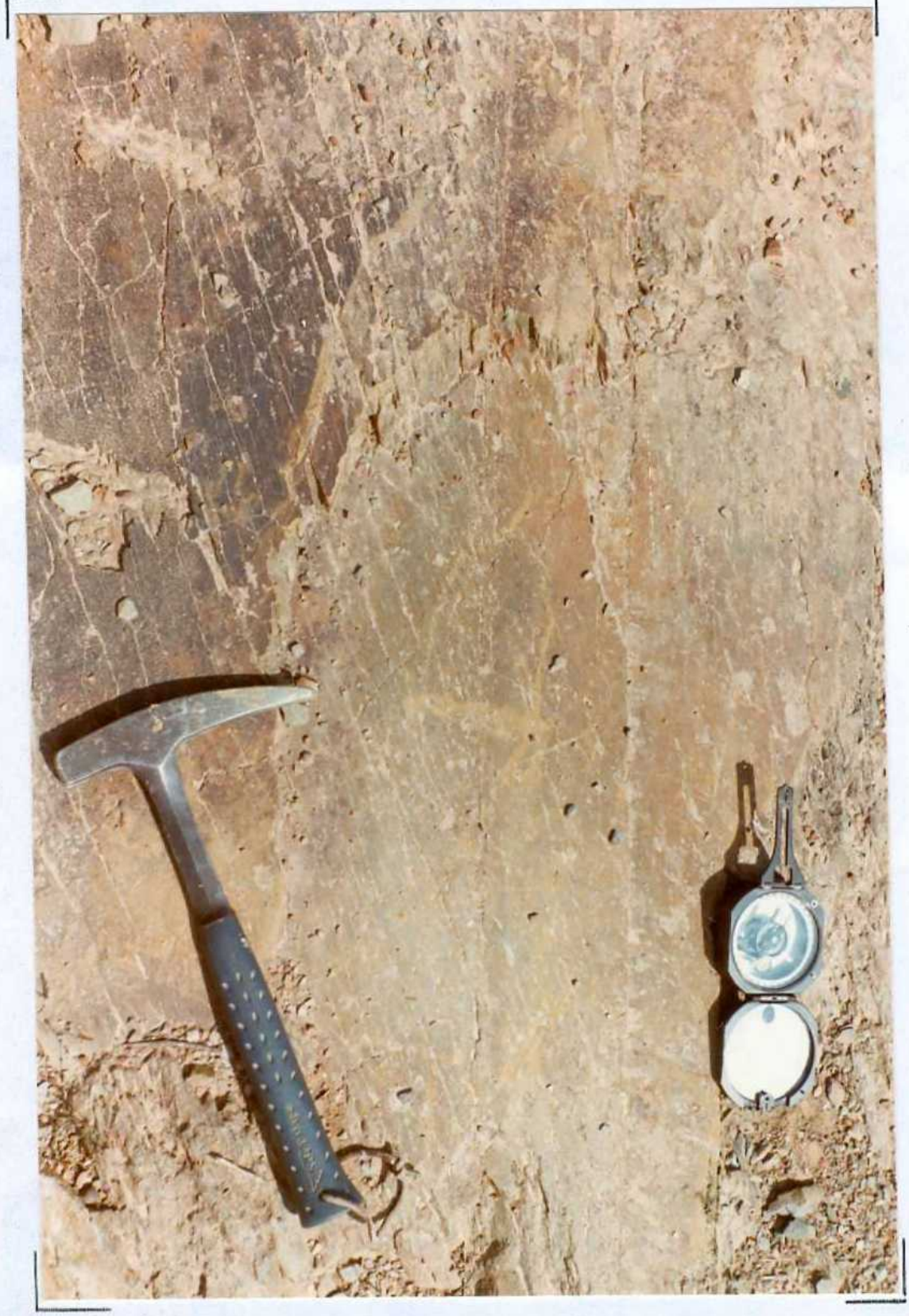


DM 9065. Aspecto típico de un afloramiento de grauvacas y pizarras del Complejo Esquisto Grauváquico - del Precámbrico superior (3)



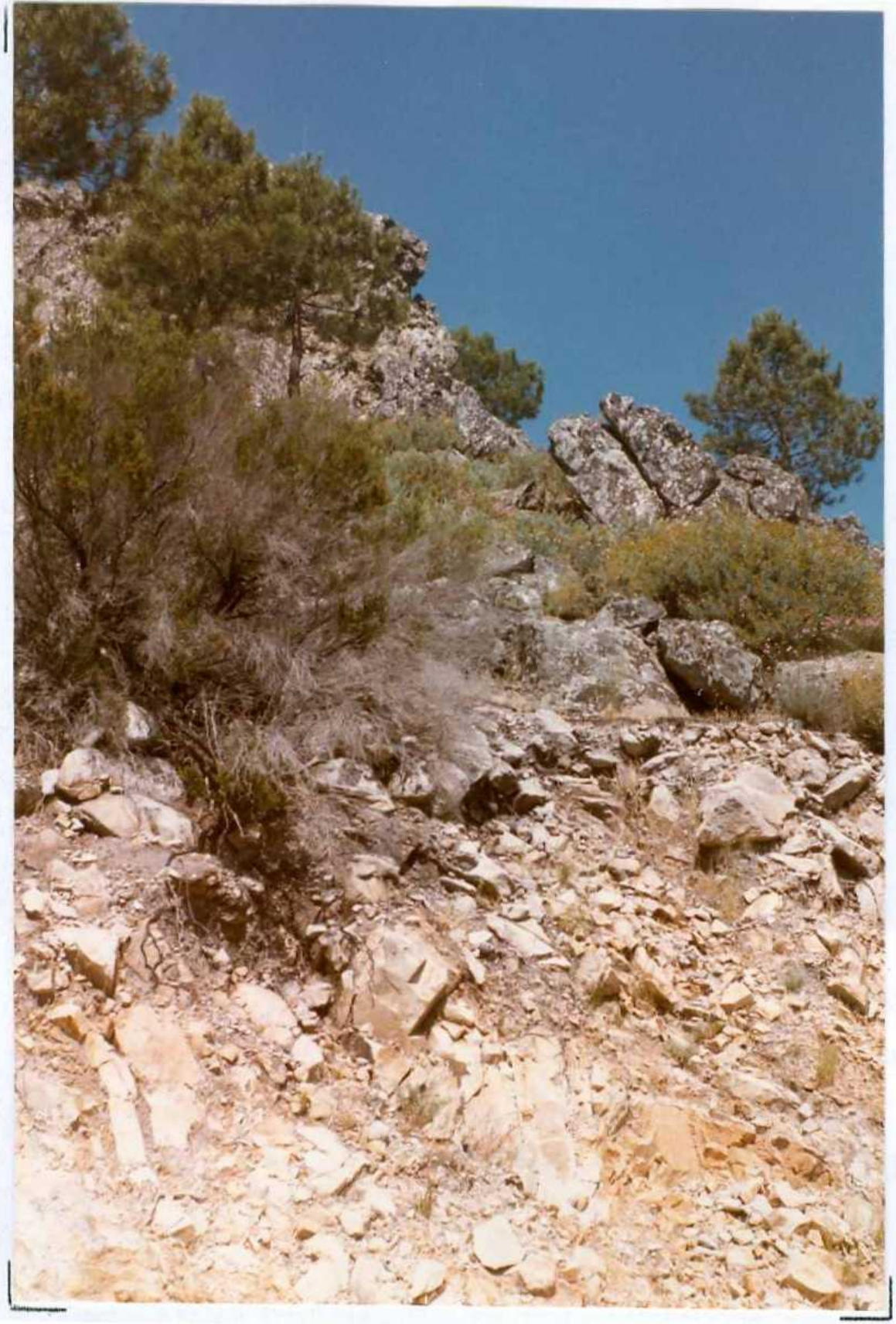
DM 9066. Detalle de la fotografía anterior donde se aprecia la So (eje mayor de la brújula) y la S_1 (eje del martillo).



DM 9067. Detalle de las pizarras del Ordovícico inferior (4)



DM 9068. Detalle de las cuarcitas armoricanas del Ordovícico inferior (5)



DM 9069

Vista parcial de las cuarcitas del flanco N del Sinclinal de - Cañaveral (5)

No aparecen los puntos en el mapa ni en la MCC!



DM 9070. Detalle de tramos pizarrosos de la parte superior del tramo cuarcítico (cuarcita armoricana) en el Sinclinal de Cañaveral (5)



DM 9071. Panorámica de la Sierra del Cañaveral. En primer plano pizarras, areniscas y cuarcitas (4). Al fondo a la izquierda materiales del C.E.G. (3) y a la derecha cuarcita armoricana (5) en Mirabel.



DM 9072. Panorámica del Sinclinal de Cañaveral.

1. Cuarcita armoricana en el flanco N (normal)
2. Cuarcita armoricana en el flanco S (invertido)



DM 9073. Vista parcial de cuarcitas en el tramo pizarras, areniscas y cuarcitas (4) del Ordovícico inferior.

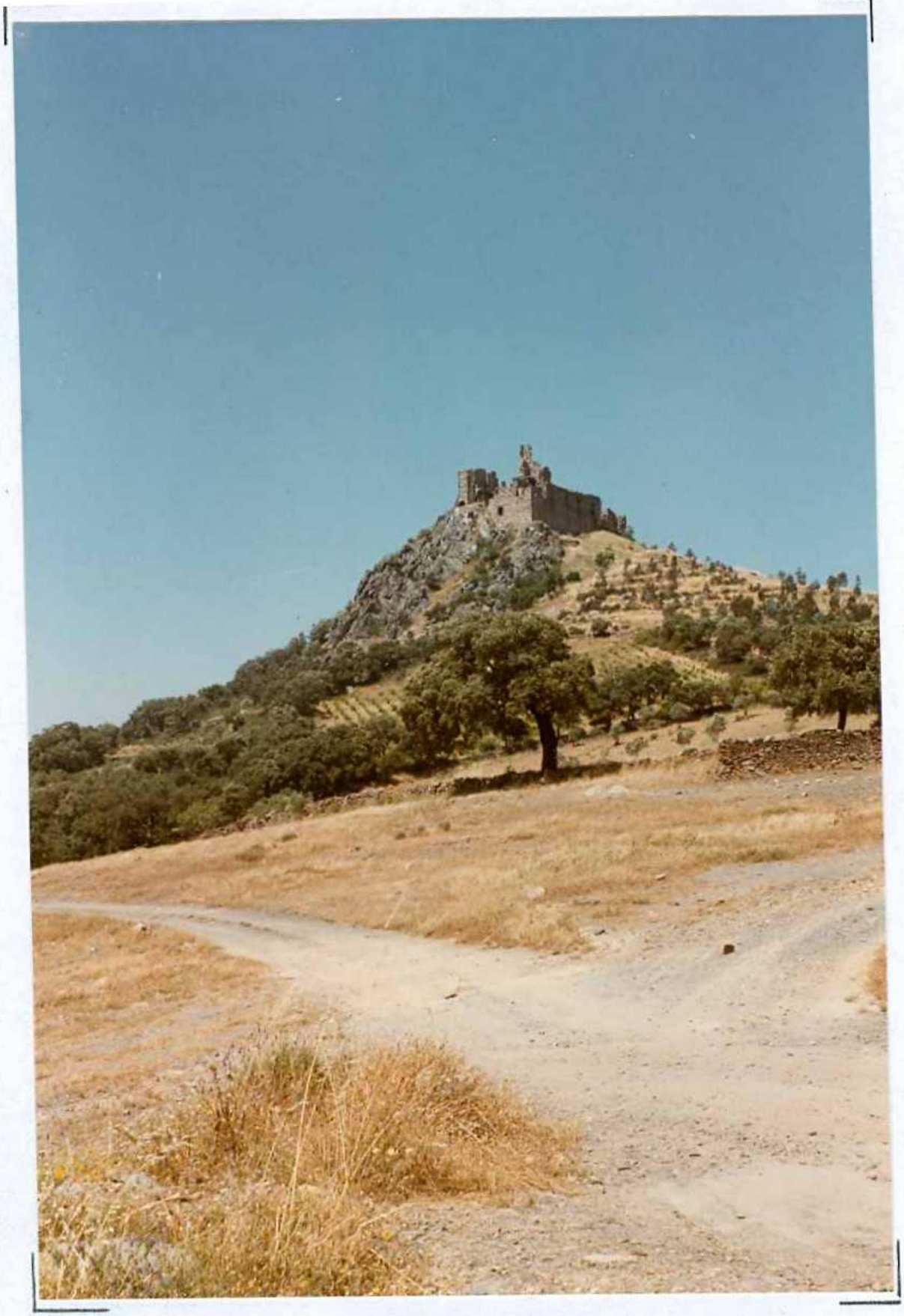


DM 9074. Detalle de la foto anterior.



DM 9075. Panorámica desde la Sierra del Cañaveral.

1. Pizarras, areniscas y cuarcitas del Ordovícico inferior (4)
2. Grauvacas y pizarras (C.E.G.)(3)
3. Sedimentos neógenos de la cuenca de Coria.



DM 9076. Panorámica de la cuarcita armoricana en el Puerto de Mirabel.



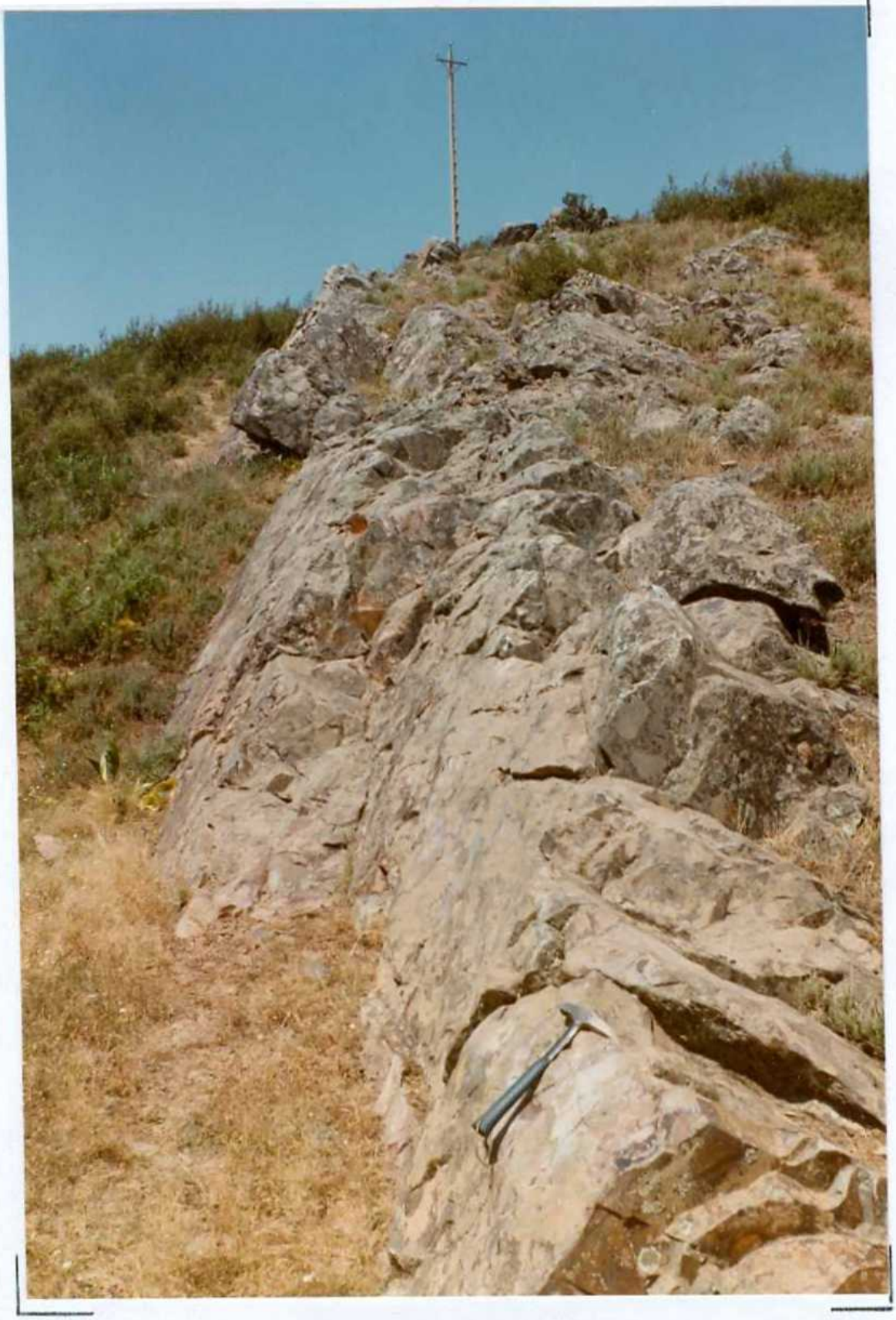
DM 9077. Estratificaciones cruzadas en niveles areniscosos de la foto anterior.



DM 9078. Contacto entre las cuarcitas (5) del Ordovícico inferior y las pizarras con intercalaciones cuarcíticas (6) del Ordovícico.



DM 9079. Detalle de pizarras (6) del Ordovícico medio con grandes paralepípedos dispersos de andalucita y trilobites.



)M 9080. Vista parcial de cuarcitas (7) del Ordovícico medio-superior pertenecientes al flanco N del Sinclinal de Cañaveral.



DM 9081. Detalle de las cuarcitas de la foto anterior.



DM 9082. Panorámica del Sinclinal de Cañaveral. Ordovícico inferior (5), Ordovícico medio (6), Ordovícico medio-superior (7), Ordóvicico superior (8) y Silúrico inferior (9) y (10).



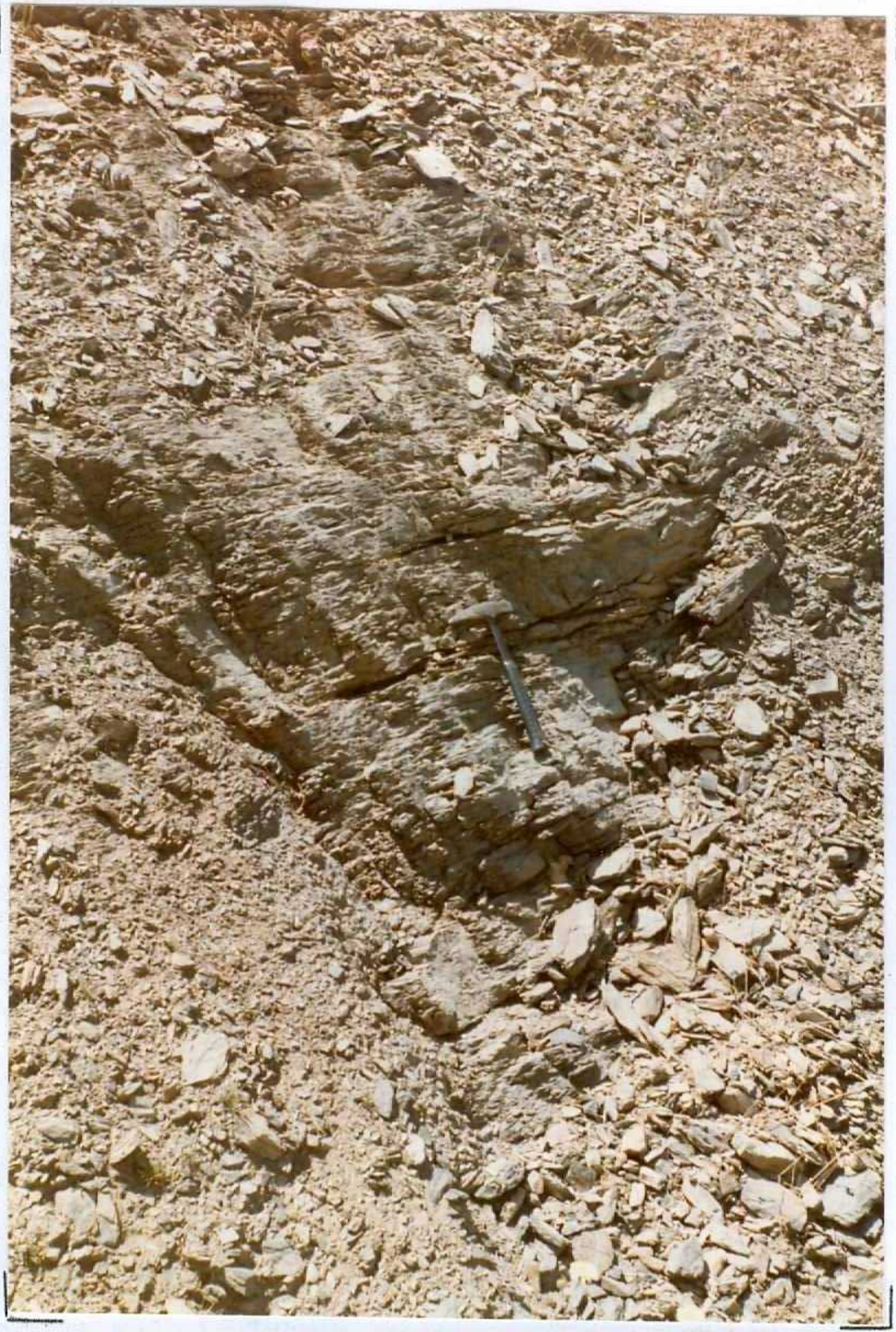
DM 9083. Vista parcial de pizarras (8) del Ordovícico superior. Observese que la S_o corresponde a planos subhorizontales y la S_1 a planos paralelos a la foto.



DM 9084. Detalla de cuarcitas (9) del Silúrico inferior.



DM 9085. Vista parcial de pizarras (10) del Silúrico inferior. Corresponde al flanco S (invertido) del Sinclinal de Cañaveral.



DM 9086

Vista parcial de pizarras y areniscas (10) del Silúrico inferior (Flanco S invertido)



DM 9087. Detalle de las pizarras ampelíticas con graptolites (10) del Silúrico inferior .



DM 9088. Panorámica del Sinclinal de Cañaveral.

1. Cuarcita armoricana (5) perteneciente a la Hoja nº 12-25 Serradilla
2. Pizarras con intercalaciones cuarcíticas (6). Ordovícico medio
3. Cuarcitas (7). Ordovícico medio-superior
4. Pizarras (8). Ordovícico superior



DM 9089. Panorámica de dique de pegmatitas (2) mineralizadas con dirección N 25-35° E en explotación activa.



DM 9090. Detalle de pegmatitas (2) con mineralización de estaño de la foto anterior.



DM 9091. Detalle del dique básico Alentejo-Plasencia (1) en las inmediaciones de grimaldo, al sur de la Hoja.



DM 9092. Vista general del dique Alentejo-Plasencia (1) en contacto con grauvacas y pizarras del C.E.G.(3)



DM 9093. Frente de explotación de estaño en las materiales neogenos de borde (14) pertenecientes a la cuenca de Coria.



DM 9094. Aspecto general de la explotación abandonada anterior. Al fondo los relieves paleozoicos del Sinclinal de Cañaveral.



DM 9095. Aspecto parcial de los depósitos de borde de la cuenca de Coria. Sector I. Conglomerados y fangos (11). Camino rural de Grinaldo a Holguera. Al fondo el C.E.G.



DM 9096. Otro aspecto de los mismos depósitos al E de Riolobos.



DM 9097. Aspecto de los depósitos arcósicos (12) de la Cuenca de Coria.



DM 9098. Vista parcial de los depósitos arcósicos (12) de la fotografía anterior. En la parte alta, terraza parcialmente cementada (Arroyo Grande, al N de la Hoja)



DM 9099. Aspecto de un nivel endurecido de conglomerados perteneciente a la unidad de arcosas y arcillas (12) de la cuenca de Coria. Carretera de Torrejoncillo a Holguera.



DM 9100. Detalle de los conglomerados de la fotografía anterior.



DM 9101. Otro aspecto de los conglomerados de las fotografías anteriores donde se observa un plano de falla con estrías horizontales.



DM 9102. Detalle de la fotografía anterior donde se aprecian con mayor nitidez las estrías del plano de falla. La falla corresponde al sistema N 120-140 E dextro.



DM 9103. Detalle de las arcillas, limos y arenas micáceas de la cuenca Terciaria de Coria Sector III (13), en las proximidades de Coria al NO de la Hoja.



DM 9104. Aspecto del depósito de un abanico aluvial (19) Angulo SO de la Hoja en la carretera de Porte-zuelo-Torrejoncillo.



DM 9105. Detalle de la fotografía anterior.



DM 9106. Aspecto de los depósitos tipo coluvionar (30) en el área de Mirabel al SE de la Hoja.



DM 9107. Aspecto de un depósito de terraza del río Alagón al N de la Hoja.



DM 9108. Detalle de los depósitos de terraza de la fotografía anterior.



DM 9109. Aspecto general de uno de los niveles inferiores de terraza en el río Alagón.



DM 9110. Detalle de la fotografía anterior.